

## 地盤の挙動調査による建築基礎の合理化

名古屋大学 工学部 正員 植下 協一  
名古屋大学 大學院 学生員 ○永瀬信一  
日建設計名古屋事務所 松井克俊  
日建設計名古屋事務所 大岡俊武

## 1. まえがき

名古屋市中心部は、共積世中期の熱田層台地におおわれてあり、中高層規模の建築基礎の支持層として不安のない地盤であることが知られているが、熱田層中に狭在する粘土層に直接支持させることの可否について、地盤の挙動や施工法を合わせて論じられたことはない。当建設予定地盤は、上記の熱田層が地上より露呈しており、地上より40～45mの層厚がある。当建設予定の構造物は、地下3階、地上9階、塔屋3階の専用事務所建築で、この建築の基礎底は、G. L. -14.74mでちょうど熱田層の粘土層に接する位置にくることになった。図-1に示すように、昭和34年当時に施工された既設ビル部分の基礎工には、深礎工法を用いてあるが、地下水の噴出による難工事を経験したとのことである。今回、ビルを増設するにあたっては、熱田層粘土の性状を土質調査によって把握し、地盤の強度と変形について推定するとともに、施工中ににおける掘削基礎底面の挙動を観測しながら施工を行ない、経済的で合理的な基礎工法によって建築物を完成させることができるので、その概要と、基礎工学的な考察について報告する。

## 2. 建築計画

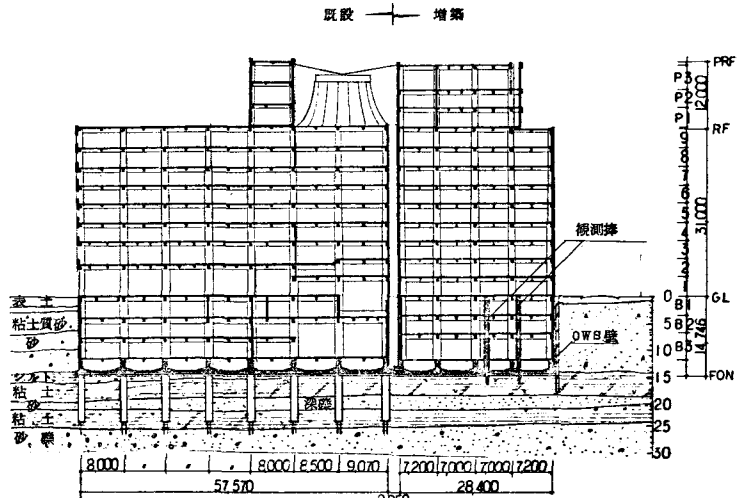
この増設構造物は、南北  
33.6m、東西28.6m  
建築面積1006.6m<sup>2</sup>、延  
床面積11758.9m<sup>2</sup>、基

基礎底 G. L. - 14.74m. 地上最高部高さ G. L. + 4.2.50m 総重量 24981t<sup>i</sup>. 基礎スラブ下部の平均接地圧は、26.5 kg/m<sup>2</sup>であった。

### 3. 地盤狀況

図-2、図-3にそれぞれ水土質調査観測点位置、土質柱状図を示した。

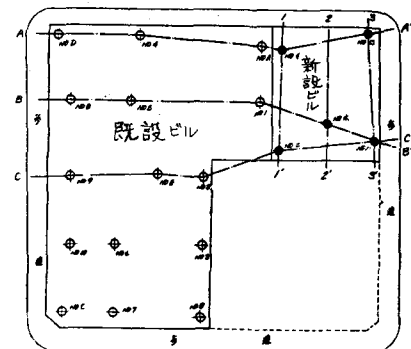
地盤の概要は、次のようである。



## 図-1 洪積粘土地盤上のビル増設工事と 新旧ビル基礎工の相違ならびに地盤状態

## 4.2 永類 信一

G.L.	深度 (m)	土質名	N 値
0.0 ~ -14.5	中・粗砂層	20 ~ 30	
-14.5 ~ -17.5	粘土層	15 ~ 20	
-17.5 ~ -20.5	レキ混り砂層	35 ~ 45	
-20.5 ~ -23.0	粘土層	10 ~ 15	
-23.0 以深	砂レキ層	50 以上	



### 4. 土質試験結果

G.L. -14.5 ~ -17.5 m の粘土層の乱さない試料に対する室内試験としては、一軸圧縮試験、三軸圧縮試験、圧密試験、同じ粘土層に対する現場試験としては、ボーリング孔を利用した横方向載荷試験 (L.L.T. 試験) を行なつた。その試験結果は、次のとおりである。

#### 一軸圧縮試験

$$q_u = 3.0 \text{ kg/cm}^2 \quad E_{50} = 152 \text{ kg/cm}^2$$

#### 三軸圧縮試験

$$C = 1.1 \text{ kg/cm}^2 \quad \phi = 11^\circ / 15'$$

#### 圧密試験

$$P_0 = 7.8 \text{ kg/cm}^2 \quad C_c = 0.325$$

$$M_r = 2.23 \text{ kg/cm}^2 \quad C_r = 2.23 \text{ kg/cm}^2$$

#### 横方向載荷試験 (L.L.T. 試験)

$$P_L = 6.5 \text{ kg/cm}^2 \quad P_T = 39.2 \text{ kg/cm}^2$$

$$(載荷時) \quad \text{三軸圧縮試験} \quad E = 250 \text{ kg/cm}^2$$

$$(除荷時) \quad \text{一軸圧縮試験} \quad E_r = 165 \text{ kg/cm}^2 \quad \text{圧密試験} \quad E_T = 207 \text{ kg/cm}^2$$

$$\text{横方向載荷試験} \quad E_L = 334 \text{ kg/cm}^2$$

$$(再載荷時) \quad \text{一軸圧縮試験} \quad E_{rl} = 155 \text{ kg/cm}^2 \quad \text{圧密試験} \quad E_{rl} = 180 \text{ kg/cm}^2$$

$$\text{横方向載荷試験} \quad E_{rl} = 325 \text{ kg/cm}^2$$

$$E_r; \sigma = 2.5 \text{ kg/cm}^2 \text{ から } \sigma = 0 \text{ kg/cm}^2 \text{ に除荷した時の弾性係数}$$

$$E_{rl}; \sigma = 0 \text{ kg/cm}^2 \text{ から } \sigma = 2.5 \text{ kg/cm}^2 \text{ に再載荷した時の弾性係数}$$

$$M_r; \sigma = 3.2 \text{ kg/cm}^2 \text{ のときの体積圧縮係数を示す。}$$

### 5. 施工の段取り

増設工事は、昭和45年12月から開始された。工事開始にあたって、掘削終了後の基礎底に、上部砂層からの地下水の流入を防止するため掘削前に連續地中壁 (OWS工法) により土留を行なつた。連續地中壁の厚さは50cmで、掘削予定地をヒリミヤコの字型に3箇月で完成させた。

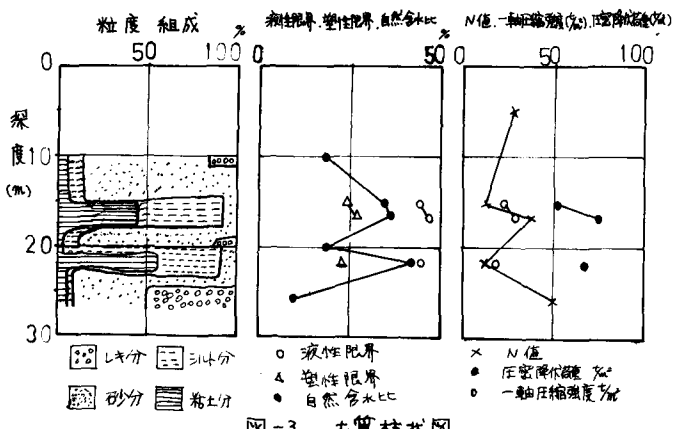


図-3 土質柱状図

次に掘削は、約2箇月で終了した。その後に、生コンクリートと打設して構造物の建造にあたり、全工事は、昭和47年4月下旬に完了した。

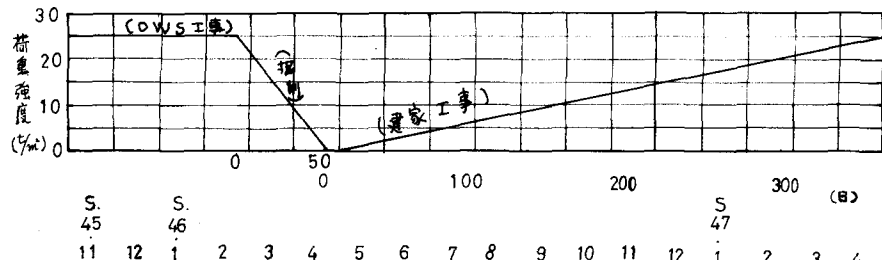


図-4 工事工程と荷重変化と経過日数

## 6. 地盤変位の計測

掘削中ににおける観測装置は、図-5に示すように、ボーリング孔に外径114、3%の外管を設置し、その内側に外径60、5%の内管を設置する。この内管の底面にリングプレートを付け、外径16mmの鉄筋を25cmプレートより突出させて孔底の地盤に打込んだ。このような観測点を、図-6

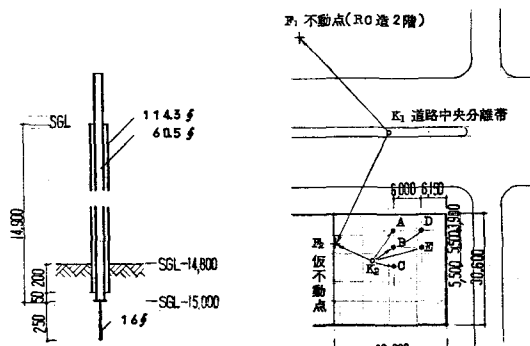


図-5 観測装置

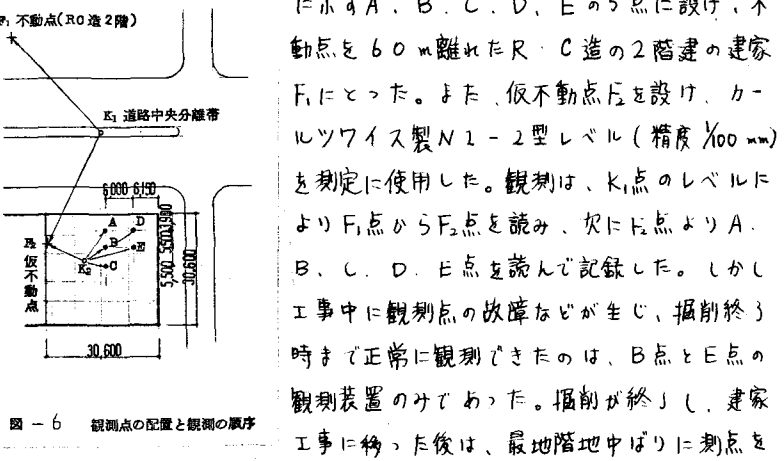


図-6 観測点の配置と観測の順序

移して観測を続けた。

## 7. 観測結果

リバウンド一沈下曲線は、図-7のようであった。

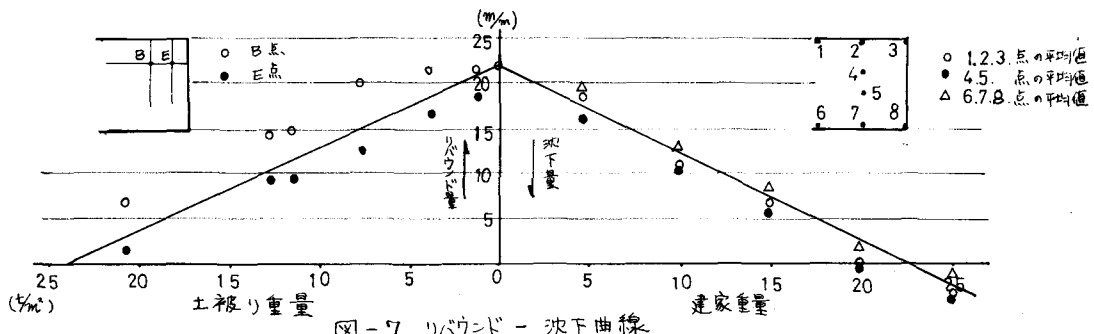


図-7 リバウンド - 沈下曲線

## 8. 結果の考察

有限厚の弾性体の表面に部分載荷されたときの長方形載荷面積の隅角点に生じる弾性沈下量は Steinbrenner (1934) によって提案され次式によつて計算できる。

$$P = q \frac{B}{E} I_p$$

ここで、  $P$ : 沈下量  $q$ : 載荷重  $B$ : 載荷幅  $E$ : 弹性係数

$I_p$ : 沈下に関する影響係数である。載荷面の形と粘土層の厚さと  
ボアソン比 ( $\mu$ ) によつて定まる定数

$$I_p = (1 - \mu^2) F_1 + (1 - \mu - 2\mu^2) F_2$$

ここで、  $F_1$  と  $F_2$  は、 Terzaghi (1943) による図表によつて求められ  
る。

リバウンド時は、横方向載荷試験の弾性係数  $E_r$  を用ひ、図-7 の B 点におけるリバウンド量を計算した結果、全リバウンド量は、2、15 cm となつた。観測された結果は、2、2 cm であつたので、ほぼ等しいと考えられる。なお B 点は、最後まで観測がうまくいゝた点であつた。

載荷沈下時は、上述と同様に、図-7 の第1観測点と第4観測点の沈下量を算出し、観測された結果との比較を行なつた。その結果、第1観測点の沈下量と第4観測点の沈下量を平均したものは、2、77 cm と算出され、観測した結果値 2、8 cm とほぼ等しい値が得られた。

## 9. あとがき

この報告書をまとめることができましたのは、数多くの協力者を得たことと、長期間の観測に対する努力の賜もありであります。地盤の予備調査で応用地質調査名古屋事務所の犬東課長、現場測定面で大林組名古屋支店の田野建築部長、木村工務部長、田代、宮崎、松原名氏に御協力いたしましたことに厚く感謝の意を表します。

## 参考文献

1. 日本建築学会東海支部、他：「名古屋地盤図」コロナ社、1969.
2. M. Bozozuk : "The modulus of elasticity of Leida clay from field measurements" Can. Geotech. J., I, P.43~P.51, 1963.
3. W. Steinbrenner : "Tafeln zur Setzungsberechnung", Die Strasse, I, P.121~P.124, 1943.
4. K. Terzaghi : Theoretical Soil mechanics, New York; Wiley, P.425, 1943.